

# Le modèle à huit sommets en mécanique statistique

Paul Melotti

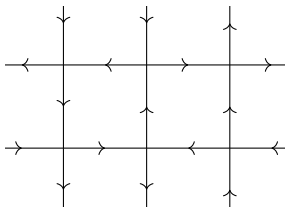
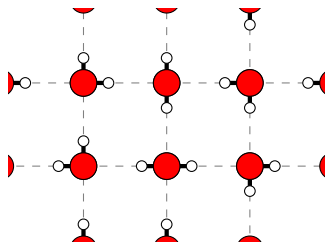
LPSM – Sorbonne Université

23/05/2019

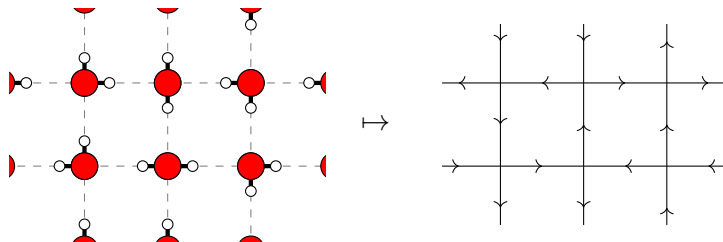
Colloque Inter'Actions

- 1 Modèle à huit sommets
- 2 Modèle de dimères
- 3 Modèle à huit sommets via les dimères

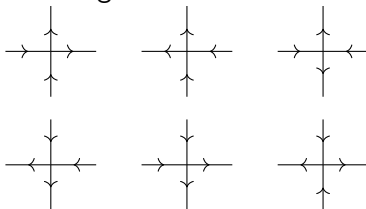
# Un modèle de glace



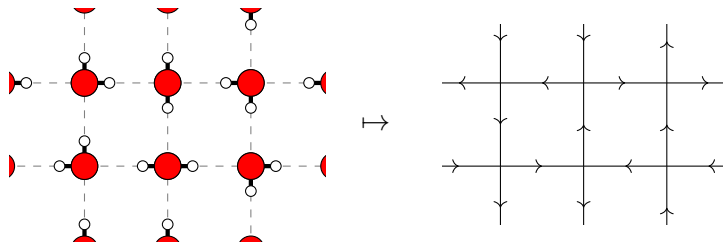
# Un modèle de glace



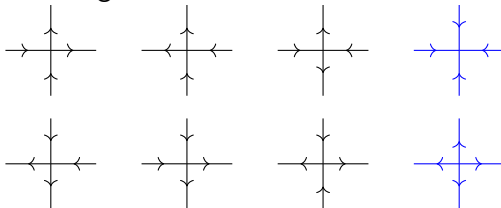
Six configurations locales ou « sommets » :



# Un modèle de glace



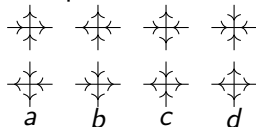
Six configurations locales ou « sommets » :



...huit sommets si on introduit des défauts (absence de molécule d'eau, superpositions...).

# Un modèle de glace

On fixe  $a, b, c, d > 0$  les poids locaux des six configurations :

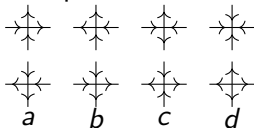


Sur une portion finie  $G$  de  $\mathbb{Z}^2$ , une orientation  $\tau$  qui satisfait ces règles a pour poids

$$w(\tau) = a^{N_a} b^{N_b} c^{N_c} d^{N_d}.$$

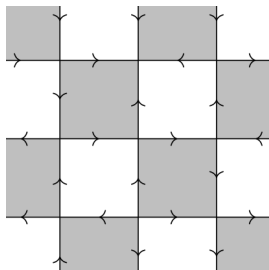
# Un modèle de glace

On fixe  $a, b, c, d > 0$  les poids locaux des six configurations :



Sur une portion finie  $G$  de  $\mathbb{Z}^2$ , une orientation  $\tau$  qui satisfait ces règles a pour poids

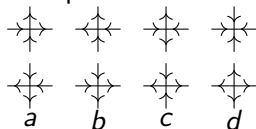
$$w(\tau) = a^{N_a} b^{N_b} c^{N_c} d^{N_d}.$$



$$\rightarrow w(\tau) = ab^3c^4d.$$

# Un modèle de glace

On fixe  $a, b, c, d > 0$  les poids locaux des six configurations :



Sur une portion finie  $G$  de  $\mathbb{Z}^2$ , une orientation  $\tau$  qui satisfait ces règles a pour poids

$$w(\tau) = a^{N_a} b^{N_b} c^{N_c} d^{N_d}.$$

Mesure de Boltzmann :

$$\mathbb{P}(\tau) = \frac{w(\tau)}{Z(G; a, b, c, d)},$$

$$Z(G; a, b, c, d) = \sum_{\tau} w(\tau).$$



# Questions

- Énergie libre :

$$\lim_{G \rightarrow \mathbb{Z}^2} Z(G; a, b, c, d)^{1/|G|} ?$$

- Corrélations : Pour deux arêtes  $e, e'$  verticales « loin » dans  $G$ ,

$$\text{Cov}(1_e \text{ verticale dans } \tau, 1_{e'} \text{ verticale dans } \tau) \sim \exp\left(-\frac{|e - e'|}{\xi}\right) ?$$

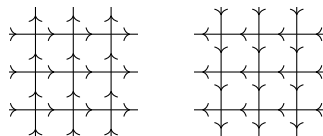
Si c'est le cas  $\xi$  est une *longueur typique* de corrélation.

- Généralité du modèle : extension à des graphes 4-réguliers ?  
Sur la sphère, le tore,...

# Diagramme des phases

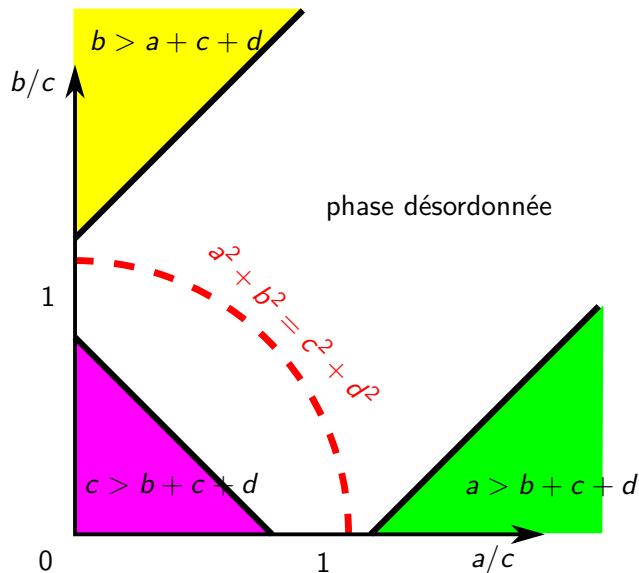
Comportement du modèle quand  $G \rightarrow \mathbb{Z}^2$  conjecturé par les physiciens dans les années 70-80 (Baxter, Fan, Lieb, Sutherland, Wu,...) :

- Si  $a \geq b + c + d$ , la probabilité sur  $\mathbb{Z}^2$  se concentre sur deux configurations :



- Idem pour  $b \geq a + c + d$ , etc.
- Si chaque poids est inférieur à la somme des trois autres, alors toutes les configurations locales apparaissent avec densité  $> 0$ .

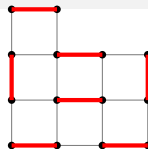
## Diagramme des phases ( $d < c$ )



- 1 Modèle à huit sommets
- 2 Modèle de dimères
- 3 Modèle à huit sommets via les dimères

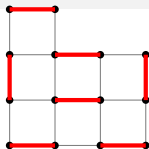
# Modèle de dimères

$G = (V, E)$  un graphe planaire,  
muni des poids positifs  $(\mu_e)_{e \in E}$ .



# Modèle de dimères

$G = (V, E)$  un graphe planaire,  
muni des poids positifs  $(\mu_e)_{e \in E}$ .



*Configuration de dimères* : sous-ensemble d'arêtes  $m \subset E$  tel que tout sommet touche une et une seule arête de  $m$ . Poids d'une configuration :

$$w_{\text{dim}}(m) = \prod_{e \in m} \mu_e.$$

Probabilité de Boltzmann :

$$\mathbb{P}(m) = \frac{w_{\text{dim}}(m)}{Z_{\text{dim}}(G; \mu)},$$

$$Z_{\text{dim}}(G; \mu) = \sum_m \prod_{e \in m} \mu_e.$$

# Théorème de Kasteleyn

On suppose  $G$  planaire et *biparti*;  $V = W \sqcup B$ . Si on oriente les arêtes de  $G$ , on peut définir une matrice d'adjacence orientée et pondérée  $K = (K_{w,b})_{w \in W, b \in B}$  :

$$K_{w,b} = \begin{cases} \mu(e) & \text{si } w \circ \xrightarrow{e} \bullet b, \\ -\mu(e) & \text{si } w \circ \xleftarrow{e} \bullet b, \\ 0 & \text{sinon.} \end{cases}$$

# Théorème de Kasteleyn

On suppose  $G$  planaire et *biparti*;  $V = W \sqcup B$ . Si on oriente les arêtes de  $G$ , on peut définir une matrice d'adjacence orientée et pondérée  $K = (K_{w,b})_{w \in W, b \in B}$  :

$$K_{w,b} = \begin{cases} \mu(e) & \text{si } w \circ \xrightarrow{e} \bullet b, \\ -\mu(e) & \text{si } w \circ \xleftarrow{e} \bullet b, \\ 0 & \text{sinon.} \end{cases}$$

Théorème (Kasteleyn, Temperley-Fisher ; 1961)

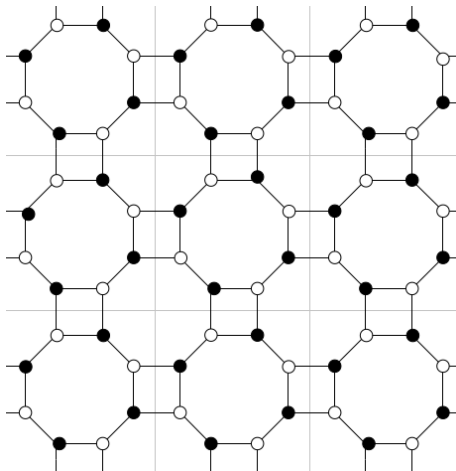
Il existe une orientation telle que

$$Z_{dim}(G; \mu) = \det K.$$



# Énergie libre pour un graphe biparti périodique

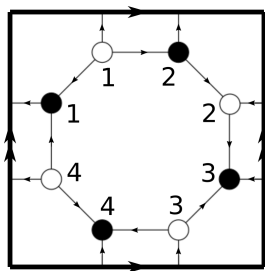
$G$  est planaire, biparti,  $\mathbb{Z}^2$ -périodique.



# Énergie libre pour un graphe biparti périodique

$G$  est planaire, biparti,  $\mathbb{Z}^2$ -périodique.

$G_1 = G/\mathbb{Z}^2$ , et  $K_1$  sa matrice d'adjacence pondérée orientée.



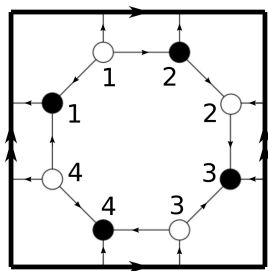
$$K_1 = \begin{pmatrix} 1 & 1 & 0 & 1 \\ -1 & -1 & 1 & 0 \\ 0 & -1 & 1 & 1 \\ 1 & 0 & 1 & 1 \end{pmatrix}$$

# Énergie libre pour un graphe biparti périodique

$G$  est planaire, biparti,  $\mathbb{Z}^2$ -périodique.

$G_1 = G/\mathbb{Z}^2$ , et  $K_1$  sa matrice d'adjacence pondérée orientée.

Pour tout  $z, w \in \mathbb{C}$ ,  $K_1(z, w)$  une matrice modifiée selon l'homologie.



$$K_1(z, w) = \begin{pmatrix} 1 & 1 & 0 & 1/z \\ -1 \times w & -1 & 1 & 0 \\ 0 & -1 \times z & 1 & 1 \\ 1 & 0 & 1/w & 1 \end{pmatrix}$$

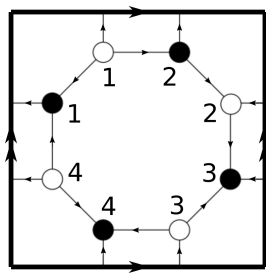
# Énergie libre pour un graphe biparti périodique

$G$  est planaire, biparti,  $\mathbb{Z}^2$ -périodique.

$G_1 = G/\mathbb{Z}^2$ , et  $K_1$  sa matrice d'adjacence pondérée orientée.

Pour tout  $z, w \in \mathbb{C}$ ,  $K_1(z, w)$  une matrice modifiée selon l'homologie.

$P(z, w) = \det K_1(z, w)$  est le *polynôme caractéristique*.



$$P(z, w) = 5 - z - \frac{1}{z} - w - \frac{1}{w}.$$

# Énergie libre pour un graphe biparti périodique

$G$  est planaire, biparti,  $\mathbb{Z}^2$ -périodique.

$G_1 = G/\mathbb{Z}^2$ , et  $K_1$  sa matrice d'adjacence pondérée orientée.

Pour tout  $z, w \in \mathbb{C}$ ,  $K_1(z, w)$  une matrice modifiée selon l'homologie.

$P(z, w) = \det K_1(z, w)$  est le *polynôme caractéristique*.

Théorème (Cohn-Kenyon-Propp 2001, Kenyon-Okounkov-Sheffield 2006)

Soit  $G_n = G/(n\mathbb{Z})^2$ .

$$\lim_{n \rightarrow \infty} \frac{1}{n^2} \log(Z_{\dim}(G_n, \mu)) = \frac{-1}{(2i\pi)^2} \int_{\mathbb{T}^2} \log |P(z, w)| \frac{dz}{z} \frac{dw}{w}.$$

# Corrélations

$G$  est planaire, biparti,  $\mathbb{Z}^2$ -périodique.

Lorsque  $n \rightarrow \infty$ , les mesures de Boltzmann sur  $G_n$  ont une limite :  
c'est une mesure *de Gibbs* sur le graphe infini  $G$ .

# Corrélations

$G$  est planaire, biparti,  $\mathbb{Z}^2$ -périodique.

Lorsque  $n \rightarrow \infty$ , les mesures de Boltzmann sur  $G_n$  ont une limite : c'est une mesure *de Gibbs* sur le graphe infini  $G$ .

**Théorème (Cohn-Kenyon-Propp 2001, Kenyon-Okounkov-Sheffield 2006)**

Soient  $e_1 = \{w_1, b_1\}, \dots, e_k = \{w_k, b_k\}$  des arêtes de  $G$ . La probabilités qu'elles soient toutes présentes est

$$\mathbb{P}(e_1, \dots, e_k \in m) = \left( \prod_{i=1}^k K_{w_i, b_i} \right) \det \left( K_{b_i, w_j}^{-1} \right)_{1 \leq i, j \leq k}$$

où

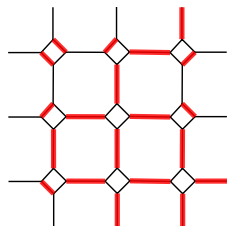
$$K_{b, w+}^{-1}(n, m) = \frac{1}{(2i\pi)^2} \int_{\mathbb{T}^2} \frac{[{}^t\text{Com}K_1(z, w)]_{b, w}}{P(z, w)} z^n w^m \frac{dz}{z} \frac{dw}{w}.$$

- 1 Modèle à huit sommets
- 2 Modèle de dimères
- 3 Modèle à huit sommets via les dimères



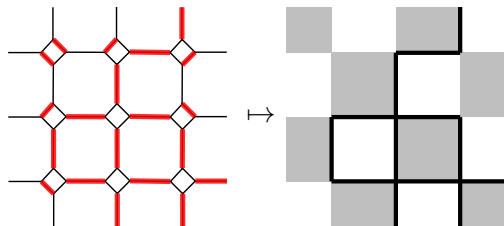
# Décorations

Idée : dimères bipartis  $m \mapsto$  modèle à huit sommets  $\tau$ .



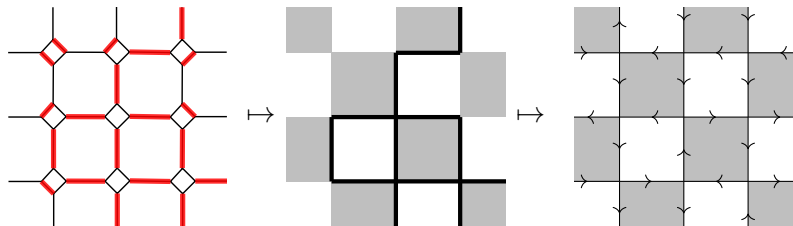
# Décorations

Idée : dimères bipartis  $m \mapsto$  modèle à huit sommets  $\tau$ .



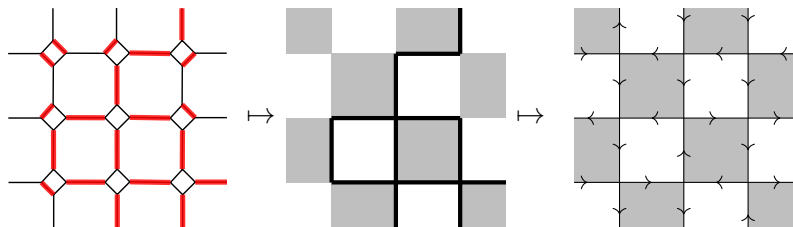
# Décorations

Idée : dimères bipartis  $m \mapsto$  modèle à huit sommets  $\tau$ .



# Décorations

Idee : dimères bipartis  $m \mapsto$  modèle à huit sommets  $\tau$ .



Proposition (Fan, Lin, Wu, ... 1970s)

Si le modèle à huit sommets satisfait  $d = 0$  et  $a^2 + b^2 = c^2$ , il existe des poids sur le graphe de dimères tels que

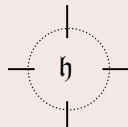
$$\sum_{m \mapsto \tau} w_{\text{dim}}(m) = w(\tau).$$

# Existence de décorations

## Question

Autres décorations  $\mathfrak{h}$  plus générales telles que

$$\sum_{m \mapsto \tau} w_{\dim}(m) = w(\tau)?$$

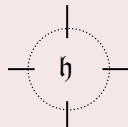


# Existence de décorations

## Question

Autres décorations  $\mathfrak{h}$  plus générales telles que

$$\sum_{m \mapsto \tau} w_{\dim}(m) = w(\tau)?$$



## Lemme

Si une décoration  $\mathfrak{h}$  **planaire** existe,

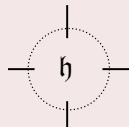
$$a^2 + b^2 = c^2 + d^2.$$

# Existence de décorations

## Question

Autres décorations  $\mathfrak{h}$  plus générales telles que

$$\sum_{m \mapsto \tau} w_{\dim}(m) = w(\tau)?$$



## Lemme

Si une décoration  $\mathfrak{h}$  **planaire** existe,

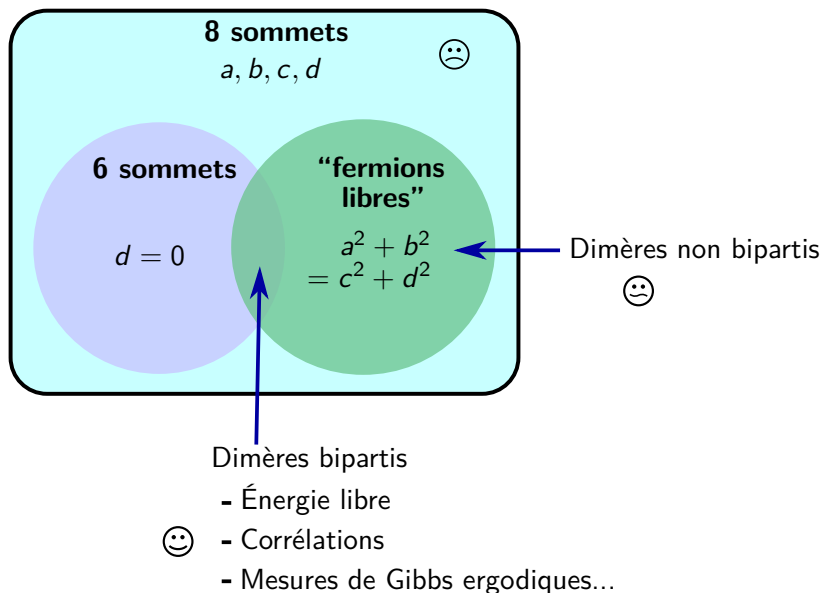
$$a^2 + b^2 = c^2 + d^2.$$

## Lemme

Si une décoration  $\mathfrak{h}$  **planaire bipartie** existe,

$$abcd = 0 \text{ et } a^2 + b^2 = c^2 + d^2.$$

# Résumé





## Théorème (M. 2018)

Pour tout modèle à huit sommets « fermions libres » ( $a^2 + b^2 = c^2 + d^2$ ), il existe deux modèles à six sommets « fermions libres »  $(a_1, b_1, c_1), (a_2, b_2, c_2)$  avec  $a_i^2 + b_i^2 = c_i^2$  tels que :

$$Z(a, b, c, d)^2 = Z(a_1, b_1, c_1, 0) Z(a_2, b_2, c_2, 0).$$

# Conséquences

- Énergie libre :

$$\frac{-1}{(2i\pi)^2} \int_{\mathbb{T}^2} \log |P(z, w)| \frac{dz}{z} \frac{dw}{w}$$

où

$$P(z, w) = P_1(z, w)P_2(z, w).$$

- Corrélations :

$$\text{Cov}(\mathbf{1}_{e \text{ verticale dans } \tau}, \mathbf{1}_{e' \text{ verticale dans } \tau}) \sim \exp\left(\frac{|e - e'|}{\xi}\right)$$

où  $\xi = \Theta((\beta - \beta_c)^{-1})$ .

- Couplages : si  $\tau, \tau'$  indépendantes tirées selon la mesure de Boltzmann de  $(a, b, c, d)$ , et  $\tau_1, \tau_2$  selon celles de  $(a_1, b_1, c_1)$  et  $(a_2, b_2, c_2)$ ,

$$\tau \triangle \tau' \stackrel{d}{=} \tau_1 \triangle \tau_2.$$

- Valable sur tout graphe planaire périodique 4-régulier, avec poids locaux.

# Éléments de preuve

*Trouver suffisamment de symétries sur  $Z(a, b, c, d)$ .*

- $Z(a, b, c, d) = Z(a, b, c, -d)$ .

# Éléments de preuve

Trouver suffisamment de symétries sur  $Z(a, b, c, d)$ .

- $Z(a, b, c, d) = Z(a, b, c, -d)$ .
- Dualité de Wu :  $Z(a, b, c, d) = Z(\bar{a}, \bar{b}, \bar{c}, \bar{d})$  où

$$\begin{pmatrix} \bar{a} \\ \bar{b} \\ \bar{c} \\ \bar{d} \end{pmatrix} = \frac{1}{2} \begin{pmatrix} 1 & -1 & 1 & 1 \\ -1 & 1 & 1 & 1 \\ 1 & 1 & 1 & -1 \\ 1 & 1 & -1 & 1 \end{pmatrix} \begin{pmatrix} a \\ b \\ c \\ d \end{pmatrix}.$$

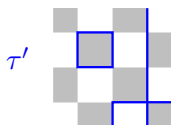
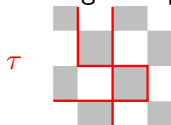
# Éléments de preuve

Trouver suffisamment de symétries sur  $Z(a, b, c, d)$ .

- $Z(a, b, c, d) = Z(a, b, c, -d)$ .
- Dualité de Wu :  $Z(a, b, c, d) = Z(\bar{a}, \bar{b}, \bar{c}, \bar{d})$  où

$$\begin{pmatrix} \bar{a} \\ \bar{b} \\ \bar{c} \\ \bar{d} \end{pmatrix} = \frac{1}{2} \begin{pmatrix} 1 & -1 & 1 & 1 \\ -1 & 1 & 1 & 1 \\ 1 & 1 & 1 & -1 \\ 1 & 1 & -1 & 1 \end{pmatrix} \begin{pmatrix} a \\ b \\ c \\ d \end{pmatrix}.$$

- Échange de spins :



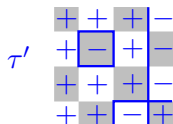
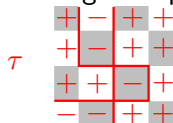
# Éléments de preuve

Trouver suffisamment de symétries sur  $Z(a, b, c, d)$ .

- $Z(a, b, c, d) = Z(a, b, c, -d)$ .
- Dualité de Wu :  $Z(a, b, c, d) = Z(\bar{a}, \bar{b}, \bar{c}, \bar{d})$  où

$$\begin{pmatrix} \bar{a} \\ \bar{b} \\ \bar{c} \\ \bar{d} \end{pmatrix} = \frac{1}{2} \begin{pmatrix} 1 & -1 & 1 & 1 \\ -1 & 1 & 1 & 1 \\ 1 & 1 & 1 & -1 \\ 1 & 1 & -1 & 1 \end{pmatrix} \begin{pmatrix} a \\ b \\ c \\ d \end{pmatrix}.$$

- Échange de spins :



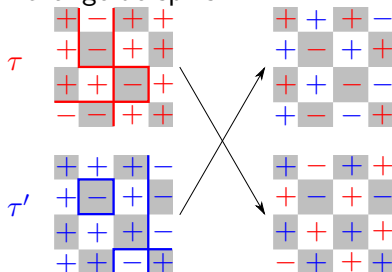
# Éléments de preuve

Trouver suffisamment de symétries sur  $Z(a, b, c, d)$ .

- $Z(a, b, c, d) = Z(a, b, c, -d)$ .
- Dualité de Wu :  $Z(a, b, c, d) = Z(\bar{a}, \bar{b}, \bar{c}, \bar{d})$  où

$$\begin{pmatrix} \bar{a} \\ \bar{b} \\ \bar{c} \\ \bar{d} \end{pmatrix} = \frac{1}{2} \begin{pmatrix} 1 & -1 & 1 & 1 \\ -1 & 1 & 1 & 1 \\ 1 & 1 & 1 & -1 \\ 1 & 1 & -1 & 1 \end{pmatrix} \begin{pmatrix} a \\ b \\ c \\ d \end{pmatrix}.$$

- Échange de spins :



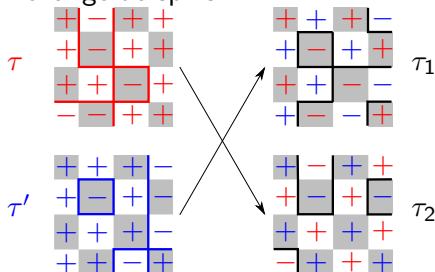
# Éléments de preuve

Trouver suffisamment de symétries sur  $Z(a, b, c, d)$ .

- $Z(a, b, c, d) = Z(a, b, c, -d)$ .
- Dualité de Wu :  $Z(a, b, c, d) = Z(\bar{a}, \bar{b}, \bar{c}, \bar{d})$  où

$$\begin{pmatrix} \bar{a} \\ \bar{b} \\ \bar{c} \\ \bar{d} \end{pmatrix} = \frac{1}{2} \begin{pmatrix} 1 & -1 & 1 & 1 \\ -1 & 1 & 1 & 1 \\ 1 & 1 & 1 & -1 \\ 1 & 1 & -1 & 1 \end{pmatrix} \begin{pmatrix} a \\ b \\ c \\ d \end{pmatrix}.$$

- Échange de spins :





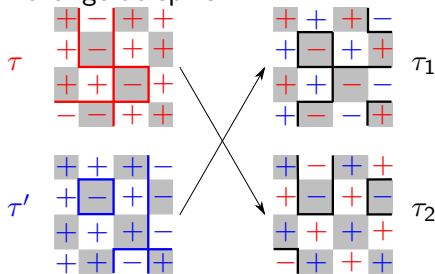
# Éléments de preuve

Trouver suffisamment de symétries sur  $Z(a, b, c, d)$ .

- $Z(a, b, c, d) = Z(a, b, c, -d)$ .
- Dualité de Wu :  $Z(a, b, c, d) = Z(\bar{a}, \bar{b}, \bar{c}, \bar{d})$  où

$$\begin{pmatrix} \bar{a} \\ \bar{b} \\ \bar{c} \\ \bar{d} \end{pmatrix} = \frac{1}{2} \begin{pmatrix} 1 & -1 & 1 & 1 \\ -1 & 1 & 1 & 1 \\ 1 & 1 & 1 & -1 \\ 1 & 1 & -1 & 1 \end{pmatrix} \begin{pmatrix} a \\ b \\ c \\ d \end{pmatrix}.$$

- Échange de spins :



Si  $ab = cd$  et  $ab = cd$ ,

$$\begin{aligned} & Z(a, b, c, d) \\ & \times Z(a, b, c, d) \\ & = Z(a_1, b_1, c_1, d_1) \\ & \times Z(a_2, b_2, c_2, d_2) \end{aligned}$$

$$P(z, w) = P_1(z, w)P_2(z, w)$$

